

砂質地盤の液状化現象予知への一手法

京都大学工学部 正員 後藤尚男
 京都大学大学院 学生員 佐藤忠信
 國立新潟県 正員 口田利治

1. まえがき：従来まで、砂質地盤の液状化現象については、室内実験を中心とし、多くの研究がなされてきており、データが蓄積されている。しかし、これらは主として、周期的応力載荷によるものであり、地震動ののようなランダム過程に直接適用することは困難であると考えられる。本研究では、地震時にみくる地盤内応力過程を確率過程と言え、確率論を用いて評価し、室内実験結果を有効に地盤へ適用できる手法を示した。

2. 液状化破壊基準：柴田博士は、液状化過程を間隙水压の上昇による剪切応力の減少過程としてとらえ、液状化破壊基準を有効応力表示によるモール円を、Mohr-Coulombの破壊包絡線に達したときと考えて、地震動により地盤内に発生するせん断応力 τ_{sh} と、初期液状化に至るまでの繰り返し回数 n の関係を次式で与えていた。¹⁾

$$\eta_1 = \frac{f(0.75 - f(z_0/\sigma_0) \operatorname{cosec} \phi'_0)}{a \{ f(z_0/\sigma_0) - 0.25 \}^2} \quad - (1)$$

ここで $f(z_0/\sigma_0) = \{ (z_0/\sigma_0)^2 + 1/6 \}^{1/2}$

a : 実験定数 ϕ'_0 : 内部摩擦角、 σ_0 : 有効土圧

本研究では、式(1)を修正する解析手法に適用させたため Fig. 1. に示すように修正して用いた。

正間 [AB] : $\eta_1 = F / (z_0/\sigma_0)^{\beta}$ 、区間 [BC] : 山式。

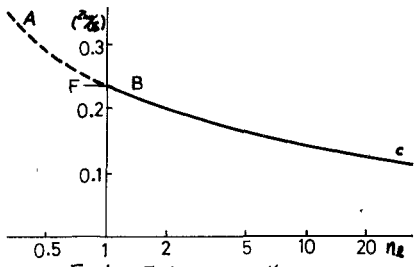


Fig. 1. $(z_0/\sigma_0) \sim \eta_1$ 曲線

3. 解析手法：室内実験においては、重複過程としての周期的応力過程をピーカーの値で評価しておるので、本研究においても、ランダムな地盤内応力過程をピーカー値で評価する。ランダム過程 $X(t) = (Z_0(t)/\sigma_0)$ の任意座標 (x, t) 近傍における単位領域あたりのピーカーの期待回数は、次式で与えられる。

$$P = - \int_{-\infty}^{\infty} \dot{x} f(x, 0, \dot{x}; t) dx \quad - (2)$$

ここで、記号 \cdot は時間微分を表わし $f(x, 0, \dot{x}; t)$ は同時確率密度関数である。

ランダム過程 $X(t)$ が、ゼロ平均をもつ定常ガウス過程であるとする。式(2)は次のようになる。
 $P_{\text{sta}} = \frac{1}{(2\pi)^{3/2} \sigma_1 \sigma_2} \left[[K]^2 \exp \frac{-\sigma_1^2 \sigma_2^2 x^2}{2[K]} + \sigma_2^2 x \left(\frac{\pi}{2\sigma_1^2 \sigma_2} \right)^{1/2} \left(1 + \operatorname{erf} \frac{\sigma_2^2 x}{\sqrt{2} \sigma_1^2 \sigma_2} \right) \exp \left(-\frac{x^2}{2\sigma_1^2} \right) \right] \quad - (3)$

ここで、 $\sigma_1 = E[X^2 H]^1/2$ 、 $\sigma_2 = E[\dot{X}^2 H]^1/2$
 $\sigma_3 = E[\ddot{X}^2 H]^1/2$ 、 $\operatorname{erf} \cdot$: 錯差関数

$$[K] = \begin{bmatrix} \sigma_1^2 & 0 & -\sigma_1 \sigma_2 \\ 0 & \sigma_2^2 & 0 \\ -\sigma_1 \sigma_2 & 0 & \sigma_3^2 \end{bmatrix}$$

修正した式(1)を $\eta^*(x)$ とすれば、 $\eta^* \text{DO}$ と式(3)を用い、疲労破壊の概念を導入して、定常状態における累積損傷度 Δ の期待値を求めると、次のようになります。

$$E[\Delta] = \sigma_2 \int_{-\infty}^{\infty} \frac{1}{\eta^*(x)} \left[\frac{(1-d^2)^{1/2}}{(2\pi)^{3/2} d \sigma_1} \exp \left(-\frac{x^2}{2(1-d^2)\sigma_1^2} \right) + \frac{x}{4\pi \sigma_1^2} \left(1 + \operatorname{erf} \frac{d x}{\sqrt{2(1-d^2)\sigma_1^2}} \right) \exp \left(-\frac{x^2}{2\sigma_1^2} \right) \right] dx \quad - (4)$$

ここで、 $\Delta = \sigma_s^2 / \sigma_{\text{ref}}^2$ と表わされ、 Δ はピークの分布状態を示す指標である。地盤内応力過程の特性を考慮すれば、式(4)は簡略化され、式(5)になり、修正 $\eta_2 \sim z^2$ 曲線における δ 値をパラメータとして数値計算を行なえば、Fig. 2 が得られる。

$$E[\Delta] = \frac{\sigma_s^2}{2\pi\sigma_{\text{ref}}^2} \int_0^\infty \left(\frac{1}{\eta_2^2(x)} \right) \cdot x \cdot \exp\left(-\frac{x^2}{2\sigma_{\text{ref}}^2}\right) dx \quad \dots (5)$$

4. 新潟地盤を対象とした解析結果：地盤の液状化現象により、大きな被害を被った新潟では、震災前後に地質調査が行なわれてあり、集成されている²⁾。本項では、これらの資料より、

被害激甚区（C 地区）、被害軽微地区（B 地区）の地盤条件を引出し、式(5)によって、累積損傷度を求めた。ここで、地盤内応力の推定については、地盤と層分割し、土岐博志³⁾の方法により、地表記録より、地盤内応力の分散値を求めた。また強震記録としては、液状化を生じた川岸町県営アパート群に設置された SMA C による記録を用いた。

Fig. 3, Fig. 4 はそれぞれ C 地区、B 地区における地盤状態と累積損傷度の分布を示したものである。ここで地盤の相対密度 N については Seed より引用した。これらによれば、新潟地区における液状化破壊の

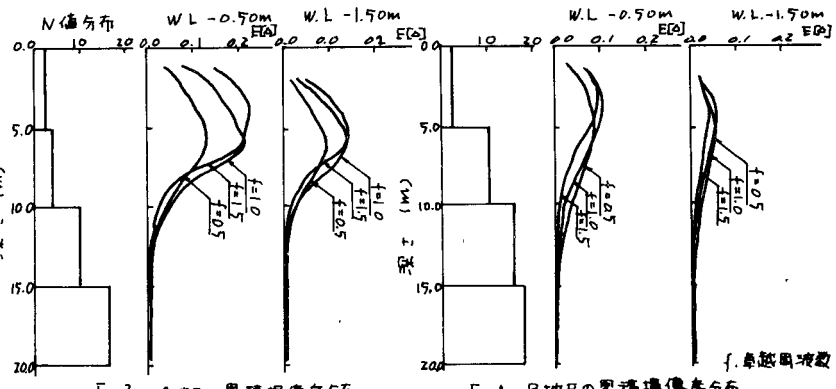


Fig. 3. C 地区の累積損傷度分布

Fig. 4. B 地区の累積損傷度分布

累積損傷度の分布は深さ 6 ~ 7 m にピークを有していることが知られる。このことは、観測された現象とほぼ一致している。また、液状化現象において地下水位、地盤の卓越周期、相対密度が大きな影響を及ぼすことも示された。次に地盤動の非定常性を考慮するため、地震加速度記録 $\ddot{\gamma}(t) = P f(t) g(t)$ と震定房過程で近似し、区分別定常性を仮定して、累積損傷度の時間的変化を求めた。それによれば、新潟地区では、本手法による累積損傷度の期待値が 0.7 程度で液状化現象が生じたことかわかった。

5. おわりに：本稿では、資料の新昌上、新潟地盤における解析にとどまつたが、現在他の地盤における解析を重めており、液状化現象を生じた地区的調査記録と照らし合わせて本手法の検証を行ない、有効性を高めることつもりである。

1) 柴田徹：飽和砂の液状化現象、第 16 回 土質工学シンポジウム 講文集、昭和 46 年 pp. 55 ~ 62.

2) 新潟地震被害報告編纂委員会、General Report on the NIIGATA Earthquake, 1964, pp. 335 ~ 401.

3) 土岐博三、地震記録による地盤内震度分布の推定、昭和 47 年 11 月、日本学会講文集 pp. 25 ~ 32.

4) K. I. Lee and H. B. Seed: Cyclic Stress Condition causing Liquefaction Sand, Proc. of A.S.C.E., 541, 1967 pp. 47 ~ 70.

5) 鷹田弘行：地震時にあける最大地動の確率論的研究、昭和 43.11 月、日本学会講文集 pp. 1 ~ 4.

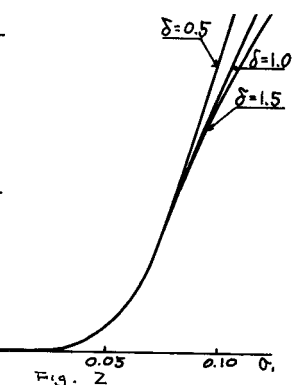


Fig. 2